

## 碎波点における周期波の波長ならびに波速について

北見工業大学工学部 正員 ○ 佐藤 幸雄

" 正員 内島 邦秀

" 正員 鰐目 敏範

## I. まえがき

J.B. Keller<sup>(1)</sup>, ならびに L.Mekhanat<sup>(2)</sup>等による変形を伴う斜面上における微小振幅波の波長は、特に、該勾配の場合、理論的には近似的に水平床の場合と同様の波長と水深の関係が示される。しかし、勾配が急になり水深変化に伴って波形の非対称性が増長すると、水平床の微小振幅波理論の適用が難しくなる。この事は斜面上の波については、勾配が急になり、また波長が長くなるにしたがって、/ 波長間の水深変化が大きくなるため、従来通り、水平床の場合と同様に波頂における静水深、いわゆる碎波水深を使用した場合には、波形の非対称性が大きい程、波長変化の様相は水平床の場合と異って来ると言えられる。この様な点に着目し、本研究は、特に碎波点での碎波の波長ならびに波速に対して、水平床の微小振幅波理論を適用する場合の碎波水深の取扱い方について、実験により検討を加えたものである。

## II. 実験方法

実験には、2次元造波水槽(巾20cm、深さ80cm、長さ13.5m)の一端に傾斜板を設置し、底面は乳白色塗装板と用いた滑面状態とした。水平部分の水深(沖水深)は30cmを一定とし、斜面勾配は $S=1/15, 1/30, 1/50$ の3種である。冲波の諸元を表1に示した。また使用した各種記号とそれらの測定法は下記に述べる通りである。(図-1)

$L_0$ ；沖水深 ( $h_0 = 30\text{cm}$ )、一定)

$H_0$ ；冲波高、抵抗線式波高計で測定した。

$L'$ ；造波板前面の波長、造波板前面に設置した2本の波高計(間隔1m)を通過する波速とその周期より求めた値。

$L_0$ ；冲波換算波長、 $L'$ を微小振幅波理論  $L_0 = L' / \tanh(2\pi h_0 / L')$ により換算した値。

$L_b$ ；碎波点長、碎波前面の谷部より碎波後面谷部までの距離。

$h_b$ ；碎波水深、碎波点の静水深。

$\bar{h}_b$ ；碎波平均水深、碎波前面の谷部の静水深  $h_{bb}$ と碎波後面谷部の静水深  $h_{fb}$ との平均値。

$L_b, h_b, \bar{h}_b$ は16mm/タイルムより読み取った値である。

$\bar{h}_b$ ；碎波平均水深の補正水深。(後述)

$C_b$ ；碎波点波速、( $\bar{h}_b / \bar{h}_b, T_b$ ; 碎波周期)

$C_f$ ；碎波前面波速、碎波点の手前30cmの位置より碎波点までの平均波速で。

その間に要した時間は16mm/タイルムに撮した

タイマーより求めた。

$\bar{C}_b$ ；碎波平均波速、( $= (C_b + C_f) / 2$ )

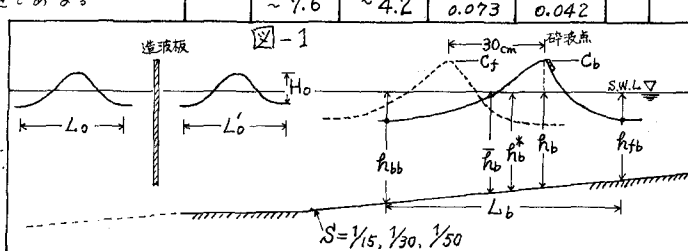
## III. 実験結果ならびに考察

(1) 碎波平均水深 ( $\bar{h}_b$ )、

碎波点附近の波は波の伝播に伴う波形の変形が大きく、碎波点の定義の仕方により碎波点での各水理量にかなり差異があるが、本研究では、ブルム上に僅かでも碎れが見られた時点を碎波点と決めた。

表1

勾配	碎波水深 $h_b$ cm	沖波高 $H_0$ cm	碎波比水深 $h_b / L_0$	碎波比水深 $H_0 / L_0$	周期 $T_b$ sec	記号
$1/15$	2.3 ~ 77.7	1.2 ~ 8.0	0.0063 ~ 0.112	0.006 ~ 0.081	0.8 1.0	▲
$1/30$	3.1 ~ 12.4	1.0 ~ 8.0	0.0088 ~ 0.118	0.004 ~ 0.073	1.2 1.5	△ X
$1/50$	2.6 ~ 7.6	1.5 ~ 4.2	0.006 ~ 0.073	0.008 ~ 0.042	1.7	●



この場合、碎波平均水深は碎波点での碎波の長さが与えられたとき、その1波長間の平均

水深すなわち、前面谷部の静水深と後面谷部のそれの平均値であり、碎波平均水深と

碎波水深との差異は同一勾配だけ波の非対称性が大きくなる程度である。(しかし、

幾勾配の場合では非対称性が急勾配の場合と同程度に大きくても碎波平均水深

と碎波水深との差異は急勾配の場合に比べて小さい場合が生じ、結局、

平均水深のみでは、その大小により勾配別の非対称性を決定するこ

とは出来ない。また、平均水深は碎波の長さと碎波点の位置が与えられ

て、はじめ2求まる値で、平均水深のみでは取扱上不便である

ため、これを、碎波水深と関連づけるためL<sub>b</sub>を無次元化

し図示すると図-2, 3, 4である。図中の直線は  $\bar{h}_b/L_o = h_b/L_o$

すなわち  $\bar{h}_b = h_b$  の場合を表わし、点線は実験値

の平均的な値を示す。各勾配共、当然ではあるが  $h_b$  が

大きい場合は  $\bar{h}_b \rightarrow h_b$  に近づき波形は比較的対称であると

見做れる。また逆に  $h_b$  が小さくなる程  $\bar{h}_b$  は大きく非対称性が強く

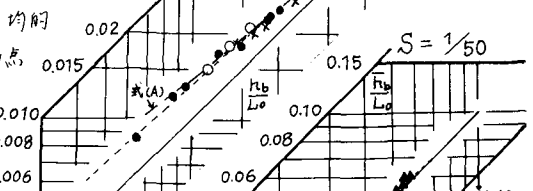
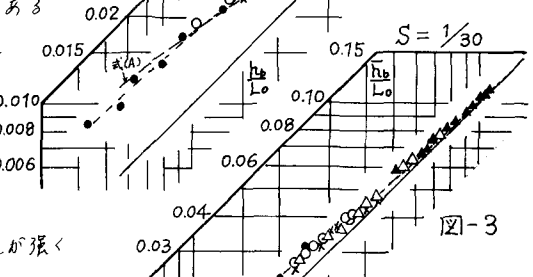
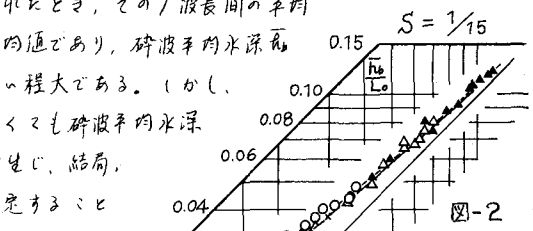
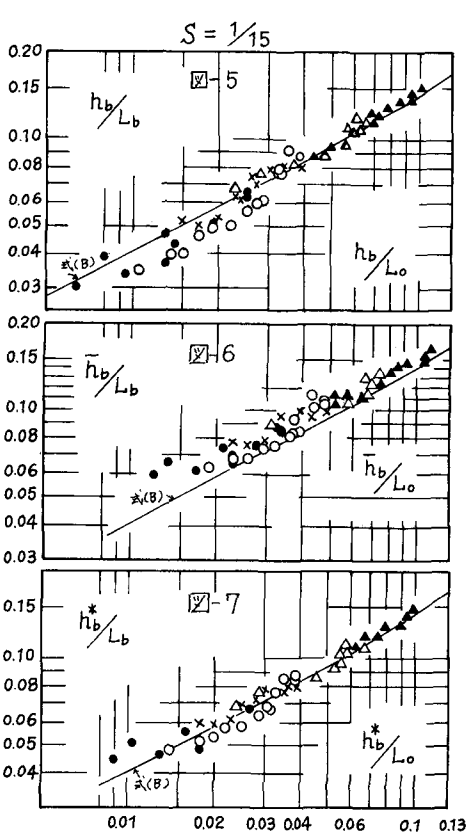
なる。さらに図より  $h_b/L_o$  と  $\bar{h}_b/L_o$  の関係は各勾配共に平均的

には直線変化に近いがしかし  $h_b/L_o = 0.025$  附近に僅かに変曲点

があり、それより  $h_b/L_o$  が大の場合は  $\bar{h}_b/L_o$  に漸近し、 $h_b/L_o$

= 0.025 以下では、逆に  $\bar{h}_b$  は増加の傾向にある、すなわ

ち波長  $L_b$  が急に増加することを示してある。



また、  
 $S = 1/15$  の  
 場合、  $h_b/L_o = 0.025$   
 のときの沖波形勾配  
 は  $H_o/L_o = 0.015$  であり 総相手<sup>(3)</sup>  
 の碎波形態の分類によると、  
 plunging型の領域内である。

勾配別には、同一  $h_b/L_o$  における1, 2, 3勾配を急勾配  $h_b/L_o$  の近は大きく、非対称性の僅な増加でも水深変化が大きく現わることの理由と考えられる。つぎに、以上の傾向にさらに勾配Sによる変化を考慮に入れ実験値に対する近似的に曲線を挿入したのが図中の破線であり、式は下記に示すようなものである。

$$\bar{h}_b/L_o = h_b/L_o + 0.115 \cdot S \left\{ 1 - \tanh \frac{\pi}{S} \left( \frac{h_b}{L_o} - 0.025 \right) \right\}$$

----- (A)

## (2) 碎波の波長 ( $L_b$ )、

碎波前面谷部および碎波後面谷部の波形は非常にflatでありアーチムからの読み取りに多大な誤差が含まれていると考えられるが、従来通りの表現により  $h_b/L_b$  と  $h_b^*/L_b$  の関係で各勾配

別に図に示すと図-5, 8, 11である。図中の実線は水平床の場合の微小振中波理論によるもので、

$$L_0 = \frac{L_b}{\tanh \frac{2\pi h_b}{L_b}} \quad \text{より} \quad \frac{h_b}{L_0} = \frac{h_b}{L_b} \tanh \frac{2\pi h_b}{L_b} \quad \dots \text{(B)}$$

である。図より比較的勾配が緩い  $S=1/30, 1/50$  の場合は全体的に式(B)よりわずか低く、また  $S=1/15$  の急勾配では  $h_b/L_0$  の大きな値でやや高い値を示すがいずれも比較的式(B)に一致していると言える。しかし  $S=1/5$  の場合で  $h_b/L_0$  が次第に小さくなると、 $h_b/L_0$  の値は図-2 の  $\bar{h}_b/L_b$  の変化と同様な傾向を示し、 $h_b/L_0 = 0.025$  附近より  $\bar{h}_b$  の増加と同様に  $L_b$  の増加が目立ち、式(B)の曲線より大きく離れて来る。この様な傾向より  $h_b$  の代りに  $\bar{h}_b$  を用いて  $\bar{h}_b/L_b$  と  $\bar{h}_b/L_0$  の関係が図に示すと図-6, 9, 12 である。 $S=1/30, 1/50$  では  $h_b/L_b - h_b/L_0$  の関係より式(B)の曲線との一致は良くなる。しかし  $S=1/5$  の急勾配の場合については、 $h_b/L_0$  の場合よりは値の変化より傾向は微小振中波理論に類似して来るが、 $L_b$  の値は同一碎波水深  $\bar{h}_b$  における式(B)の値より測定値がやや高い結果を示し、全体的に曲線(B)の上側に現われる結果となつた。

以上の結果より、微小振中波理論と同一の波長を示す水深としては、勾配が緩い場合は平均水深に近づき、また勾配が急になると逆にしだがって平均水深よりやや碎波水深側に移行するような値が適当と考えられる。このような水深を碎波平均水深の補正水深  $\bar{h}_b$  と表す。また、補正係数とては、微小振中波の傾向と勾配がよろず変化量を考慮して、

$$\gamma = 1 - \sqrt{S} \left( 1 - \tanh \frac{2\pi h_b}{L_0} \right) \quad \text{を用ひよう。}$$

補正水深  $\bar{h}_b$  は  $\bar{h}_b = \bar{h}_b \left\{ 1 - \sqrt{S} \left( 1 - \tanh \frac{2\pi h_b}{L_0} \right) \right\}$

さらに、 $\frac{h_b}{L_0} = \frac{\bar{h}_b}{L_0} \cdot \gamma = \frac{\bar{h}_b}{L_0} \left\{ 1 - \sqrt{S} \left( 1 - \tanh \frac{2\pi h_b}{L_0} \right) \right\}$

となり。このような補正水深  $\bar{h}_b$  を使用して  $\frac{h_b}{L_0} - \frac{\bar{h}_b}{L_0}$  の関係を示したのが図-7, 10, 13 である。図より  $\frac{h_b}{L_0}$  が小さな場合は十分補正されない状態にあるが  $\frac{h_b}{L_0} > 0.01$  の範囲の差が多い本実験の場合には、ほぼ微小振中波理論と一致する結果が得られた。

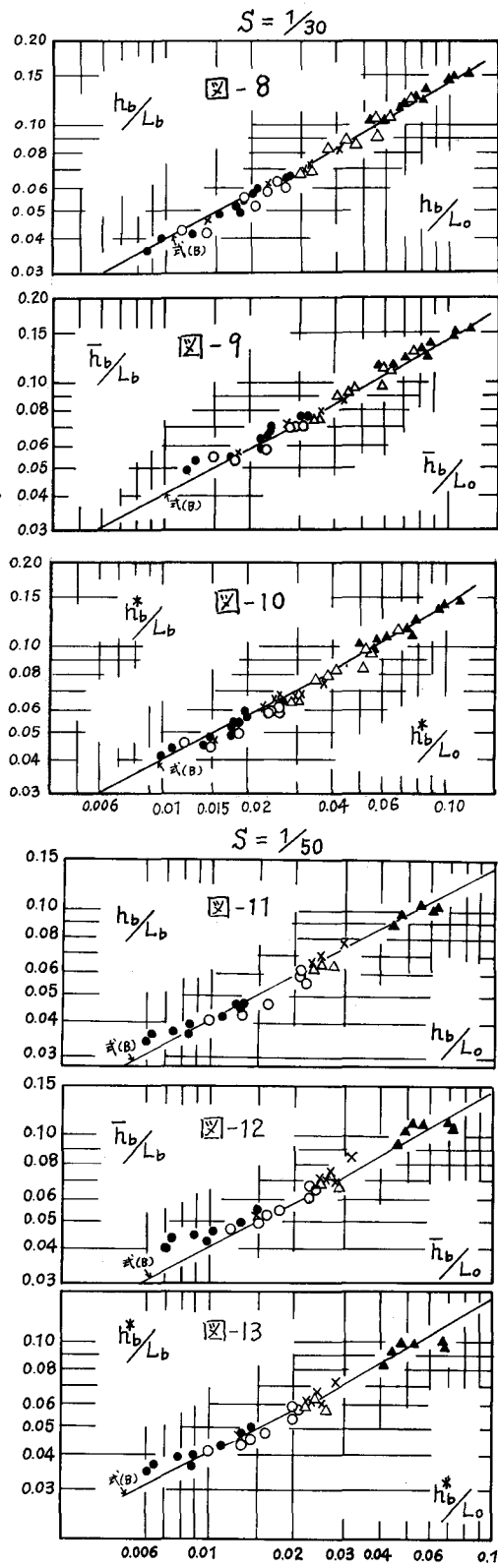
### (3) 碎波速度 ( $C_b$ )

碎波速度については、碎波瞬時の波速の測定が困難であるため、次の2種類の波速を採用した。

(i) 碎波点の手前 30cm から碎波点までの平均波速  $C_f$ 、

(ii) 碎波点周期  $T_b$  と碎波周期  $T_b$  により求めた碎波点波速  $C_b$ 。

(ii) の碎波点周期は測定の結果、碎波周期  $T_b$  と殆んど同



じであるため、 $T_0 = T_b$  と考えてよい。この場合の  $C_b$  の値は  $C_f$  に比べて 2 倍や、小さな値を示すが、碎波点の位置の取り方の僅かな違いにより  $C_b, C_f$  共にそれぞれバッキが見られる。しかし、 $C_b$  が大きいとき、 $C_f$  は小さく、逆に  $C_b$  が小さいとき  $C_f$  は大きい値を示し相互に関連を持つ傾向を示している。すなわち、 $C_f$  がやや大きい値を示すときは碎波点がやや前方に進みすぎ、その分前面波長の減少を伴なって碎波区長全体が短くなり、したがって  $C_b$  が小さな値を示すものと考えられる。したがって測定値の整理については、 $C_b$  と  $C_f$  の平均値と 12  $\bar{C}_b (= (C_f + C_b)/2)$  を採用することとした。この場合、 $\bar{C}_b$  は実際の碎波点波速より若干速い値を示すものと考えられる。したがって、この  $\bar{C}_b$  を水平床の場合の各種理論と比較するためには、碎波水深  $h_b$  よりや、大きめの碎波平均水深  $h_{b\bar{}}^*$  を使用することとしたし、沖波換算波長  $L_0$  で無次元化した  $\bar{C}_b/\sqrt{g}L_0$  と  $h_b/L_0$  の関係を図に示した。各勾配について図-14, 15, 16 である。図中の (a), (b), (c) の各曲線はそれぞれ下記に示すようだ。水平床の場合の微小振幅波、有限振幅波、跳立波の波速である。

(a) 微小振幅波；

$$\frac{C_b}{\sqrt{g}L_0} = \frac{1}{\sqrt{2}\pi} \left( \frac{1}{h_b/L_0} \cdot \left( \frac{h_b}{L_0} \right) \right)^{\frac{1}{2}}, \quad \frac{h_b}{L_0} = \frac{h_b}{L_b} \tanh \frac{2\pi h_b}{L_b},$$

(b) 有限振幅波；

$$\frac{C_b}{\sqrt{g}L_0} = \frac{1}{\sqrt{2}\pi} \left( \frac{1}{h_b/L_0} \cdot \left( \frac{h_b}{L_0} \right) \right)^{\frac{1}{2}} \sqrt{1 + \left( \frac{\pi H_b}{L_b} \right)^2 \frac{\cosh(2\pi h_b/L_b) + 8}{8 \{ \sinh(2\pi h_b/L_b) \}^4}}$$

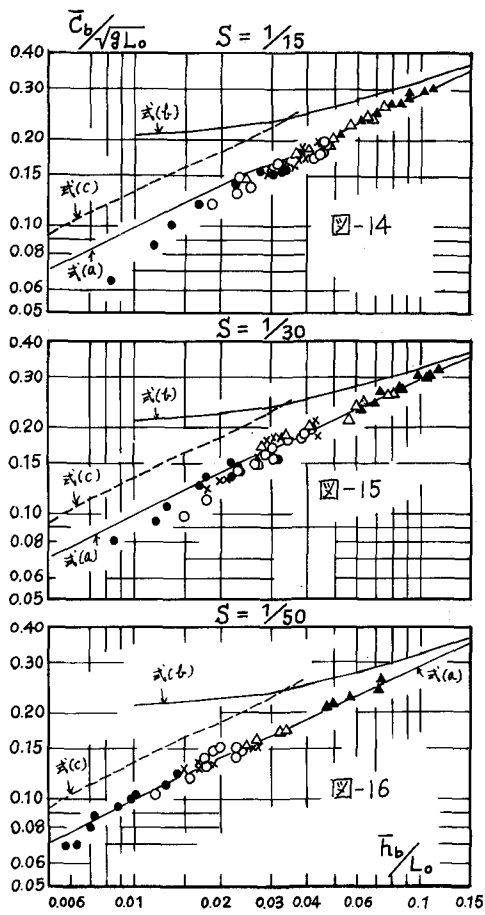
$$H_b/L_b = 0.142 \tanh(2\pi h_b/L_b), \text{ Michal's formula}$$

$$h_b/L_0 = h_b/L_b \cdot \tanh(2\pi h_b/L_b)$$

(c) 跳立波；

$$\frac{C_b}{\sqrt{g}L_0} = \sqrt{\frac{h_b}{L_0}} \left( 1 + \left( \frac{H_b}{h_b} \right) \right)^{\frac{1}{2}}, \quad \frac{H_b}{h_b} = 0.78 \quad (\text{Munk's depth limit})$$

図より  $S = 1/30, 1/50$  の場合には 平均水深を使用することにより、碎波区長の場合と同程度に微小振幅波理論との一致が見られ、 $S = 1/15$  では、 $\bar{C}_b/\sqrt{g}L_0$  が小さな場合には、平均水深のみではなく、やはり、微小振幅波の値より離れて来る。すなわち、 $\bar{C}_b$  の値が小さく、したがって碎波区長  $L_b$  の傾向と同様、 $L_b$  が同一碎波平均水深の場合の理論値より小さいことを示していると考えられる。



#### IV. 結論

斜面上の碎波点の碎波区長、波速に対する、従来の碎波水深に代り、平均水深、あるいは補正水深を用いた、ある程度微小振幅波理論に一致するところが示されたことが解った。しかし、比水深が小さくなるに従い、補正量も充分でなく、さらに多くの勾配についての実験値より検討を加之する必要があると考えられる。

終りに、データー整理等に多大なる助力を賜りました在学四年目学生諸君に深く謝意を表します。

#### 参考文献

- 1) J.B. Keller "Surface waves on water of non-uniform depth"
- 2) L. Melante and H. Weiss "Periodic gravity wave over a Gentle slope at a third order approximation" Coastal Eng.
- 3) 佐伯・藤本・尾崎 "碎波の形態について" 第30回年次学術講演会講演概要集 1950. 10